



Instituto Tecnológico
GeoMinero de España

GRAVIMETRIA EN MINA FE (CIUDAD RODRIGO)
- SALAMANCA -

TRABAJOS GEOFISICOS DE APOYO A INVESTIGACIONES MINERAS.

Mayo - 1990.

EXPEDIENTE N°

--	--	--	--

ORGANICA N°

PROGRAMA N°

CONCEPTO N°

--	--	--



MINISTERIO DE INDUSTRIA Y ENERGIA

40363

CAPITULO 1 - INTRODUCCION.

INTRODUCCION

En el Servicio de Geofísica del I.T.G.E. se ha llevado a cabo, a cargo del proyecto "Trabajos geofísicos de apoyo a investigaciones mineras", la cobertura gravimétrica del área de Mina Fe, en Ciudad Rodrigo (Salamanca).

Este trabajo se encuadra en el proyecto "Development of new multidisciplinary techniques for mineral exploration in several areas of the western Iberian Peninsula", el cual, está financiado en parte por la comisión de la C.E.E.

Se trata de un proyecto de cooperación multinacional que está siendo realizado entre diversos organismos públicos y empresas estatales, en el cual, el Instituto Tecnológico Geominero de España ostenta la responsabilidad del proyecto.

El objetivo de este proyecto conjunto es el de proporcionar nuevas guías de exploración de Au, Sb, W, Nb, Ta, Li, y U, en situaciones geológicas donde es conocido que aparecen en concentraciones económicas o subeconómicas, así como el desarrollo de nuevos conceptos en relación con otros estilos de mineralización desconocidos.

La prospección gravimétrica, como otra de las técnicas multidisciplinares empleadas, está enfocada al control estructural de las áreas investigadas y junto con la teledetección y el análisis estructural sobre el terreno, podrá ser integrada en un marco geológico de conjunto.

Los objetivos fundamentales por tanto, se han centrado en el estudio y determinación de grandes accidentes estructurales, (lineamientos mayores) en las rocas metamórficas, así como el control de la forma y extensión en profundidad de los cuerpos graníticos aflorantes o subaflorantes y su relación con las rocas encajantes.

Para llevar a cabo estos objetivos, la obtención del mapa de anomalías de Bouguer, constituye el punto de partida de la investigación, con las correcciones y cálculos que conlleva y que se desarrollan en capítulos posteriores.

En cuanto a la interpretación, se ha realizado una interpretación cualitativa del mapa de Anomalías de Bouguer en conjunción con datos derivados de estudios propiamente geológicos, análisis estructural y técnicas de teledetección. En este sentido, hay que precisar que no existe una única interpretación de los datos gravimétricos. Esta ambigüedad en la interpretación puede ser generalmente reducida procurando una integración de los datos geofísicos y geológicos. Así, hay que tener en cuenta que las posibles distribuciones de masa que generan una anomalía, tienen una serie de limitaciones, presentando unas condiciones concretas que se pueden establecer tanto mejor, cuanto más precisa sea la información que se posea de la geología regional.

Por tanto, se ha realizado en el capítulo 2, una síntesis de la geología regional, en la que se han considerado fundamentalmente aquellos aspectos geológicos más relevantes para la interpretación gravimétrica.

LOCALIZACION

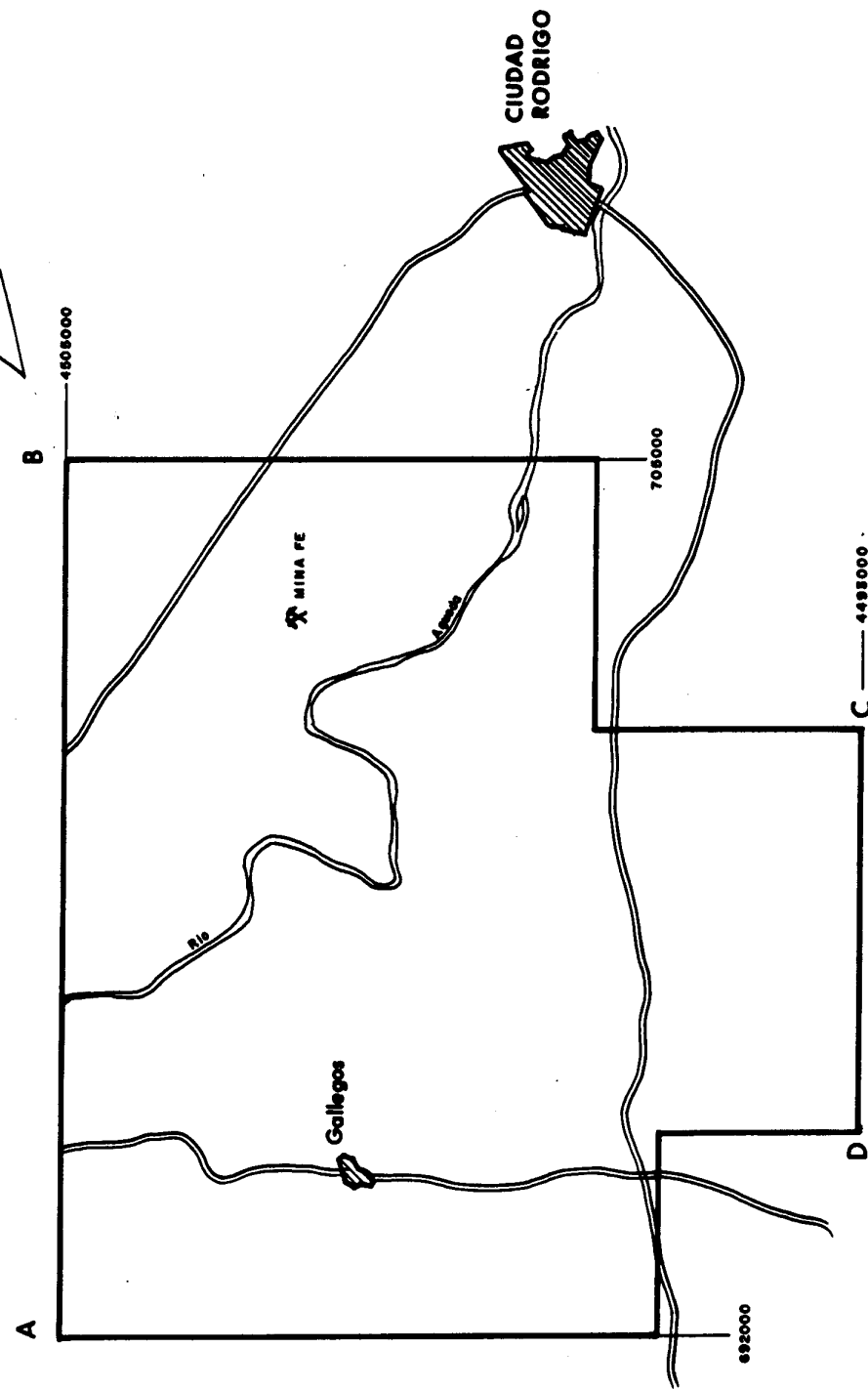
Geográficamente el área de estudio se sitúa al oeste de Ciudad Rodrigo en la Provincia de Salamanca (fig.1). Se trata de un área de 12*12 Km aproximadamente y queda delimitada por las siguientes coordenadas U.T.M.:

A - x=692000; y=4505000
B - x=705000; y=4505000
C - x=701000; y=4493000
D - x=695000; y=4493000 (Fig.1).

Ocupa parcialmente la Hoja del M.T.N. a escala 1/50000: 525 (Ciudad Rodrigo).

En la figura 1 se representa el área elegida para realizar el trabajo la cual obedece a criterios geológicos y mineros. El trabajo se centra por un lado, alrededor de la corta de Mina Fe y en las áreas adyacentes con mayores posibilidades de exploración, y por otro, abarca zonas del Complejo Esquisto Grauváquico (CEG) con una estructuración compleja producida por una tectónica de ejes cruzados, así como el stock granítico de Gallegos.

**FIGURA 1 - SITUACION GENERAL DE LA ZONA DE TRABAJO EN MINA
FE (CIUDAD RODRIGO - SALAMANCA).**



CAPITULO 2 - GEOLOGIA REGIONAL

GEOLOGIA REGIONAL

El área de estudio en Ciudad Rodrigo está formada por las siguientes unidades:

- Esquistos Precámbricos-Cámbricos (CEG).
- Granitos Hercínicos.
- Sedimentos Terciarios y Cuaternarios. (fig.2)

En la zona de estudio el CEG (Precámbrico Superior-Cámbrico Inferior) está formado por metasedimentos que constituyen una serie alternante de lutitas y areniscas, con intercalaciones de grauvacas, conglomerados y rocas calcosilicatadas (Arribas et al 1983; Martin-Izard y Arribas 1984).

Las rocas del CEG fueron afectadas por tres fases tectónicas Hercínicas principales, posteriores a una posible fase Precámbrica (Sárdica), observándose tambien movimientos Alpinos posteriores.

El metamorfismo regional, de bajo grado, se produjo durante la primera fase Hercínica (Arnaiz de Gezala et al in press).

Los materiales graníticos intruyen simultanea o posteriormente a la segunda fase de deformación, produciendo metamorfismo de contacto en los esquistos. Estos materiales graníticos estan datados en 284 ± 8 m.a. (Arnaiz de Gezala et al in press).

La fracturación, fuertemente condicionada por el plegamiento, se produce en varias fases que se extienden desde el final de la Orogenia Hercínica al Terciario y presentan un amplio rango de direcciones en el área.

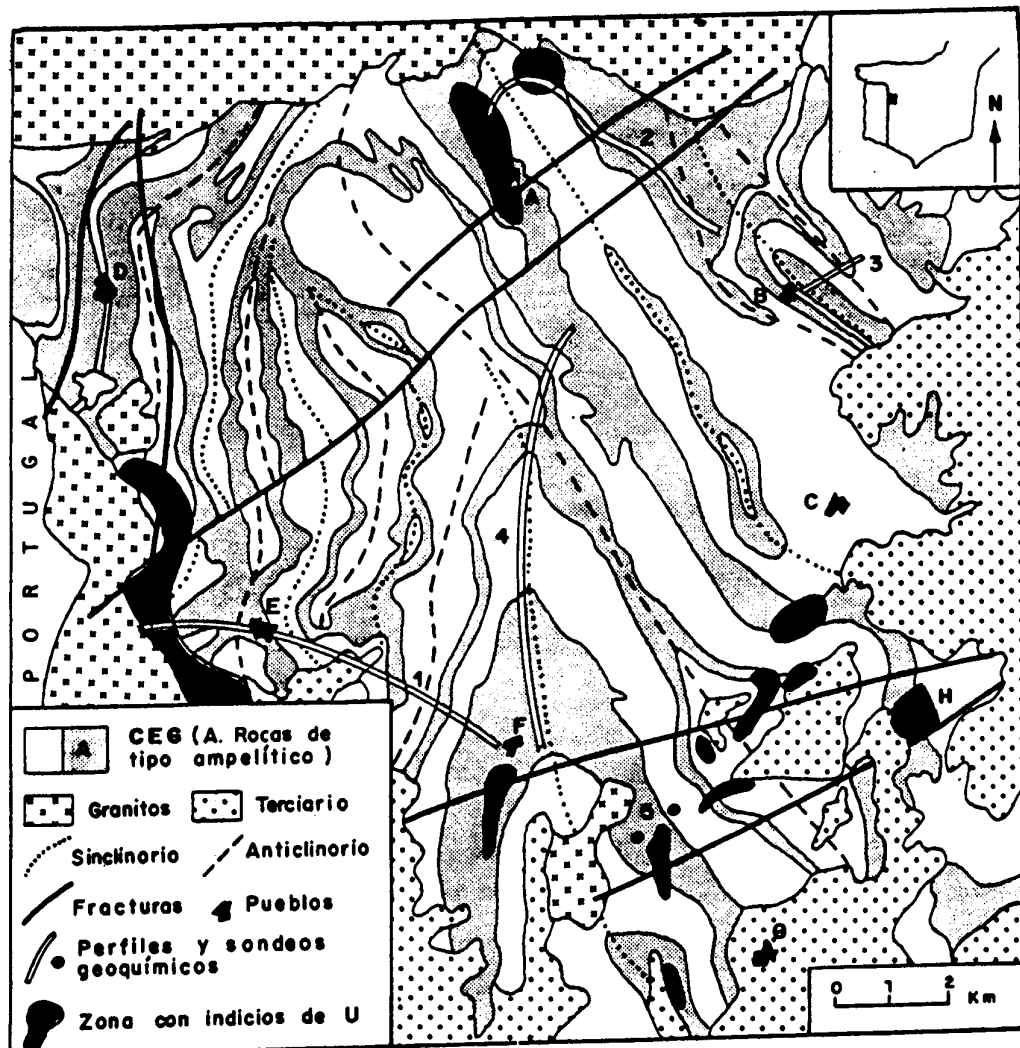


Fig. 1.—Distribución de las pizarras ampeíticas (A) en el complejo esquistoso-grauváquico (CEG) que forma el borde septentrional de la cuenca terciaria situada al noroeste de Ciudad Rodrigo (Salamanca). Localidades: A. Villar de la Yegua; B. Castillejo; C. Saelices; D. Aldea del Obispo; E. Alameda de Gardón; F. Gallegos de Argañán; G. Carpio de Azaba; H. Mina del Fé. Desmuestres geoquímicos: 1. Alameda; 2. Villar; 3. Castillejo; 4. Gallegos; 5. Sondeos Carpio (según Arribas *et al.*, 1983, modificado).

FIGURA 2 - ESQUEMA GEOLOGICO REGIONAL. (Arribas, 1985)

CAPITULO 3 - GRAVIMETRIA

EQUIPO DE PERSONAL Y MATERIAL.

Jefe de equipo - Dña. Rocío Campos Egea
(Lic. en C. Geológicas).

Supervisor de topografía - D. Ceferino Avilero Hurtado
(Ing. Tec. de Minas).

Operador - D. Agustín González Durán.

Los trabajos de topografía fueron realizados por el Equipo de topografía de la empresa E.N.U.S.A. (Oficina técnica del centro minero - Dto. de exploración). (ver apendice I y fig.3).

El material empleado fué:

- Gravímetro Scintrex Autograv CG3.
- Vehículo Land-Rover del ITGE.

TOPOGRAFIA MINA FE - X, Y, N.est.

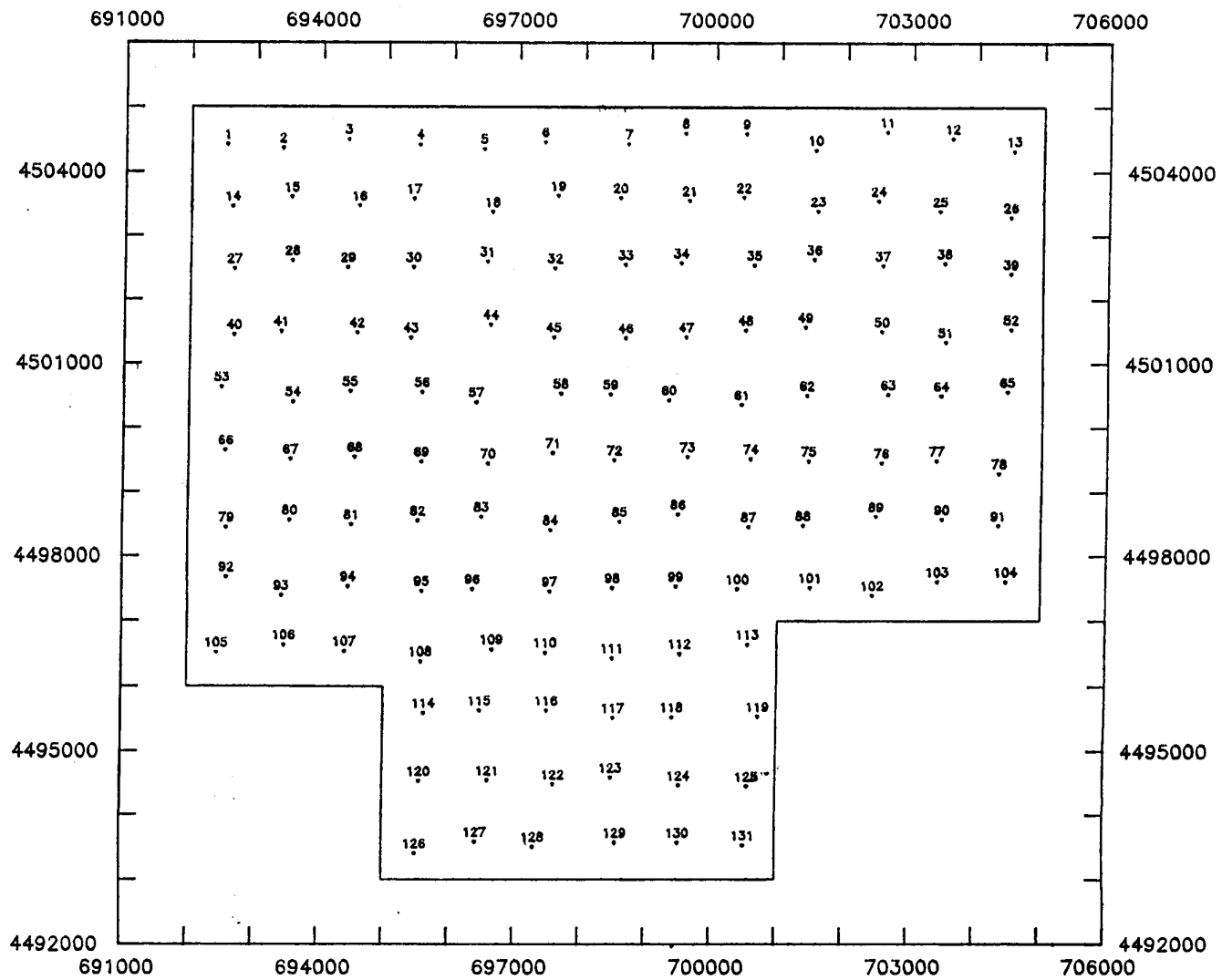


FIGURA 3 - SITUACION Y TOPOGRAFIA DE LOS PUNTOS REALIZADOS POR E.N.U.S.A.

GRAVIMETRIA

La toma de datos en campo se efectuó en el mes de Abril de 1990, realizándose 131 estaciones con una densidad de una estación por Km². Se procuró una distribución de las estaciones lo más aproximada posible a la configuración de malla regular (fig.3).

Para la toma de datos de gravimetría se estableció, en primer lugar, una base gravimétrica en Mina Fe, teniendo en cuenta el tiempo de duración, así como la rentabilidad de los desplazamientos diarios para la apertura y cierres de programas. La unión de esta base para trabajar con valores absolutos de la gravedad se realizó a través de una base intermedia situada en el cruce Tamames-Vitigudino de la carretera N-620 con la base de la red de gravimetría fundamental :BF salamanca-B.

Los croquis y referencias de las bases están representados en las figuras 4, 5 y 6.

Teniendo en cuenta cierres y compensaciones, los valores de estas bases son:

B1 - (base intermedia, cruce)- 980040.22 mGal

B2 - (BF-Salamanca B)- 980046.62 mGal

B3 - (base de trabajo en Mina Fe)- 980059.61 mGal

DENOMINACION DE LA BASE - B1 - CRUCE DE VITIGUDINO

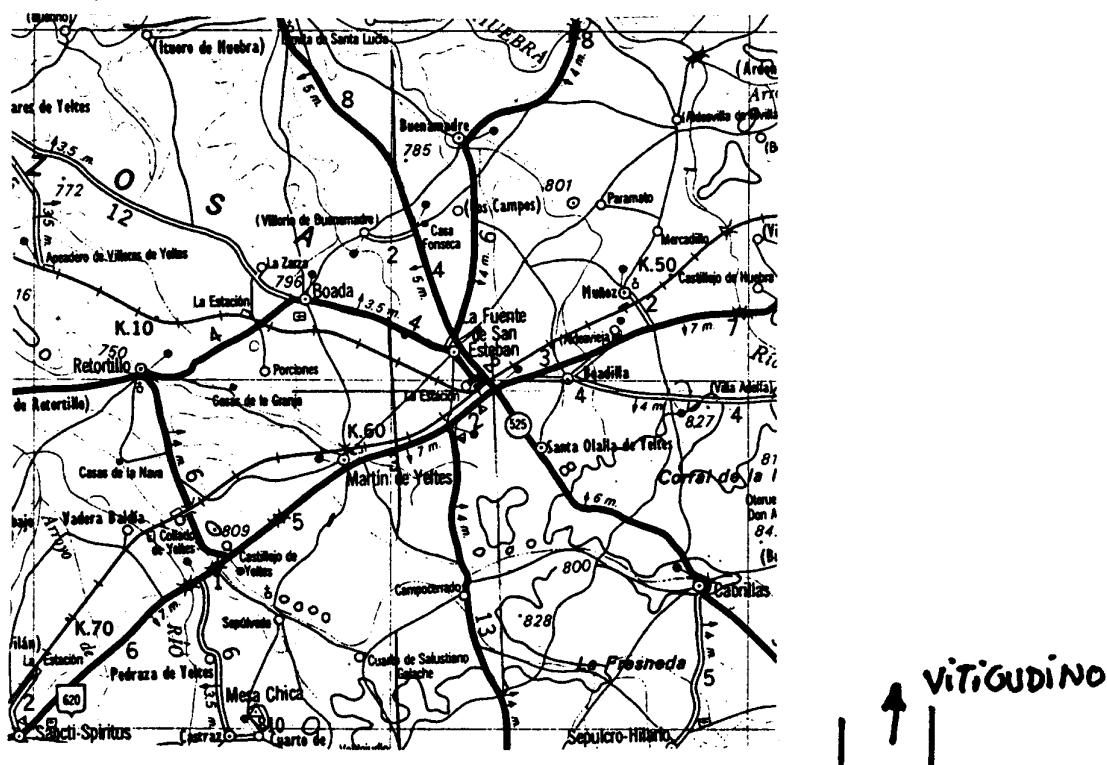
COORDENADAS U.T.M. X= 733400
(aproximadas) Y= 4519600

GRAVEDAD - 980040.22 mGal

TERMINO MUNICIPAL - LA FUENTE DE SAN ESTEBAN

PROVINCIA - SALAMANCA

HOJA DEL M.T.N. ESCALA 1/50.000 - 501 - LA FUENTE DE SAN ESTEBAN



RESEÑA

Por la Carretera Nacional 620 (Salamanca - Ciudad Rodrigo) existe un cruce dirección Vitigudino . En este cruce se situó la base (B1), en la esquina izquierda de la fachada de los talleres SEAT.

CROQUIS

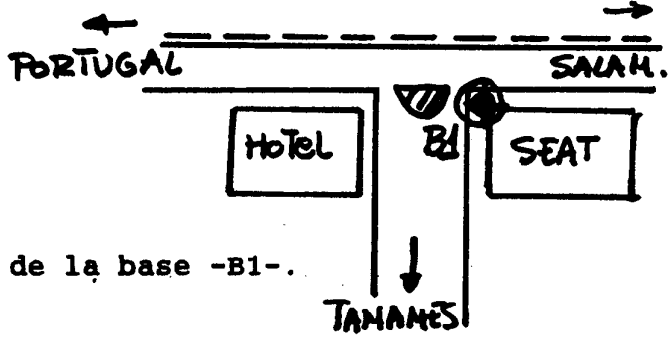


FIGURA 4 - Descripción de la base -B1-.

DENOMINACION DE LA BASE - B3 - MINA FE

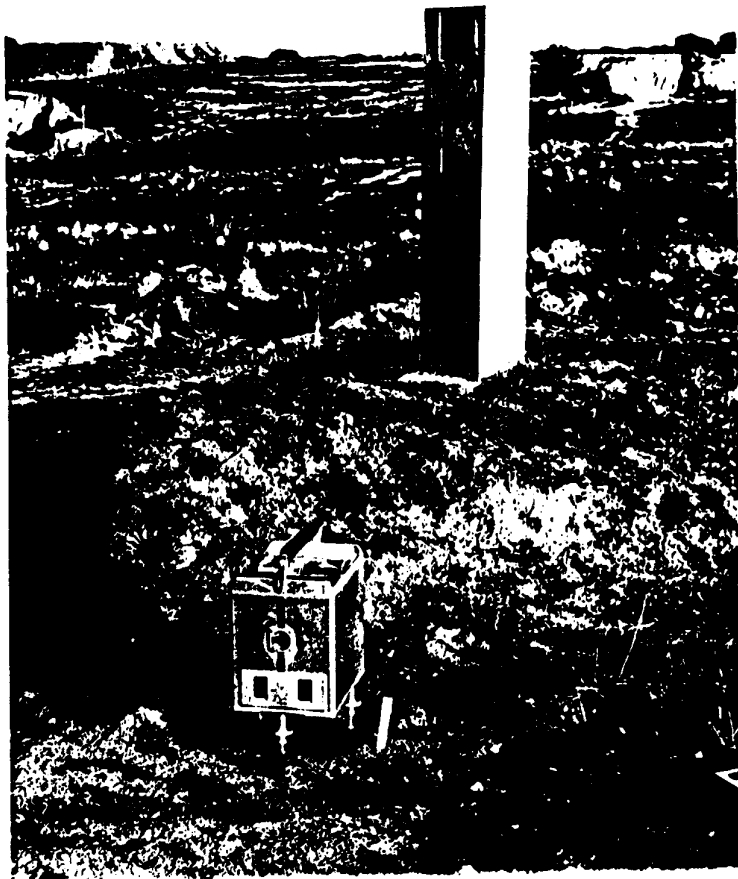
**COORDENADAS U.T.M. X= 701750
(aproximadas) Y= 4502800**

GRAVEDAD - 980059.61 mGal

TERMINO MUNICIPAL - CIUDAD RODRIGO

PROVINCIA - SALAMANCA

HOJA DEL M.T.N. ESCALA 1/50.000 - 525 - CIUDAD RODRIGO



RESEÑA

En la Mina Fe, junto a las oficinas del Dto. de Exploración, existe una base de declinación de brujulas. Al pie de esta columna se situa la base gravimétrica de trabajo.

FIGURA 5 - Descripción de la base -B3-.

GRAVITY STATION DESCRIPTION		STATION TYPE Base Nacional	STATION DESIGNATION Salamanca B
COUNTRY España	STATE/PROVINCE Salamanca	CITY Salamanca	
LATITUDE 40° 58' 00"	LONGITUDE - 5° 40' 20"	ELEVATION 805,0 m.	
GRAVITY STATION MARK Chapa metálica	AGENCY/SOURCE	INSCRIPTION B.G.	
POSITION REFERENCE Mapa	POSITION SOURCE IGC	SOURCE DESIGNATION 1:50.000 hoja 478	
ELEVATION REFERENCE Mapa	ELEVATION SOURCE IGC	SOURCE DESIGNATION 1:50.000 hoja 478	
POSITION/ELEVATION REMARKS 980046.62			
<p>DESCRIPTION En la esquina interior izquierda de la entrada al Hospital Provincial, fachada de la calle Espejo (Facultad de Medicina) de Salamanca. </p>			
<p>DIAGRAM/PHOTOGRAPH</p>			
DATE OF PHOTO 6-7-73		DESCRIBED/RECOVERED BY RAMOS	
AGENCY IGC		DATE 6-7-73	

TPC FORM 115-29 MAY 79
REPLACES TEST EDITION, AUG 69, WHICH IS OBSOLETE

FIGURA 6 - DESCRIPCION DE LA BASE FUNDAMENTAL DE SALAMANCA

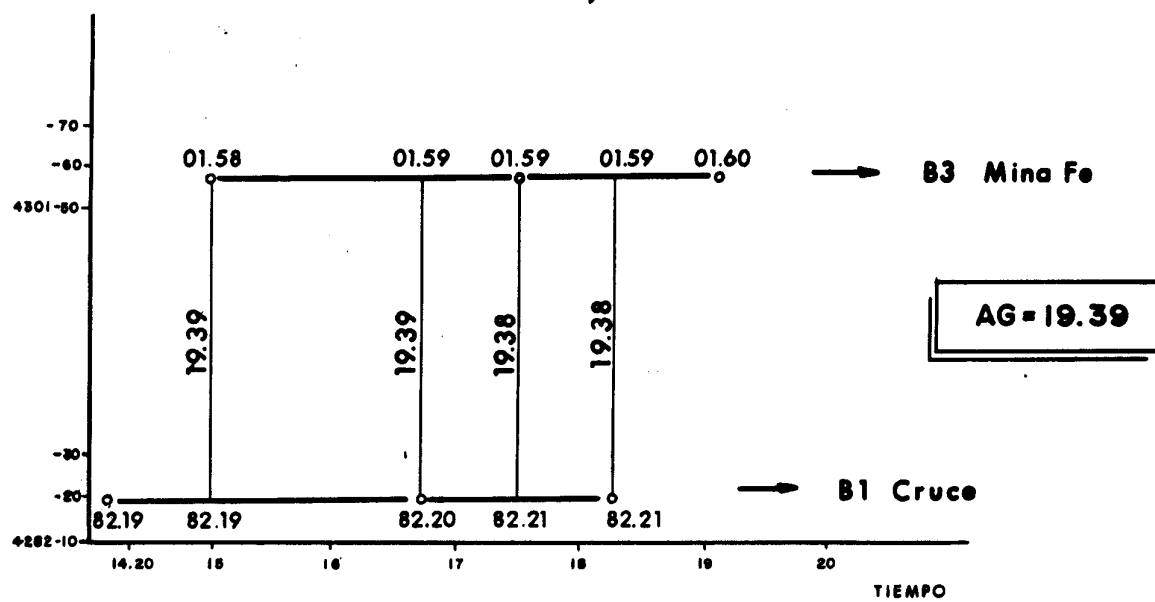
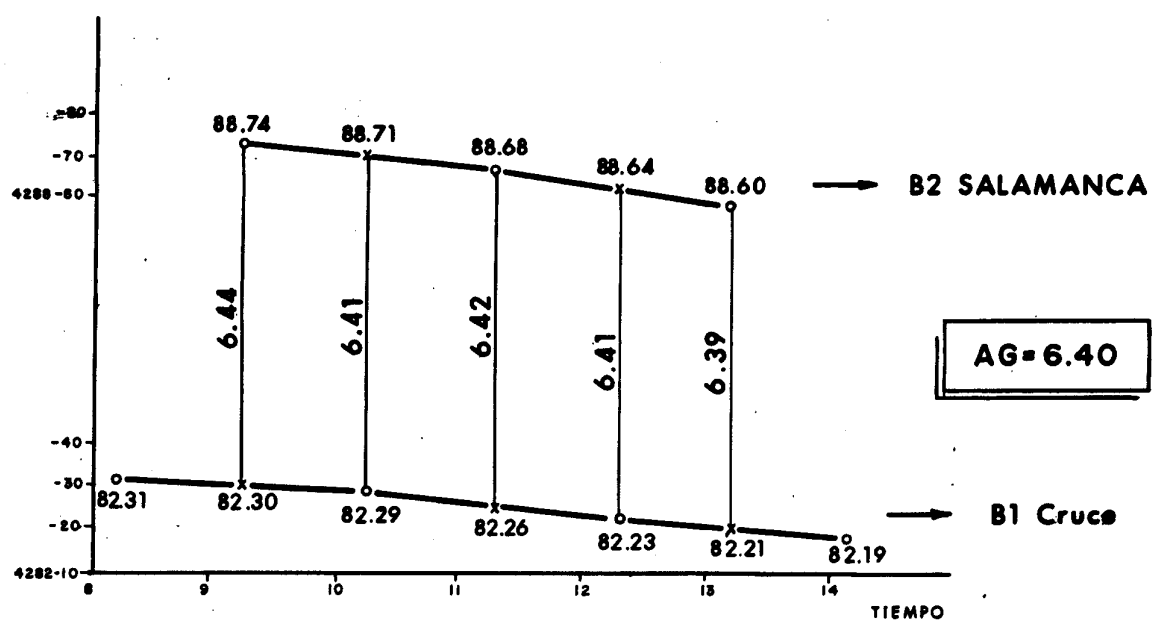
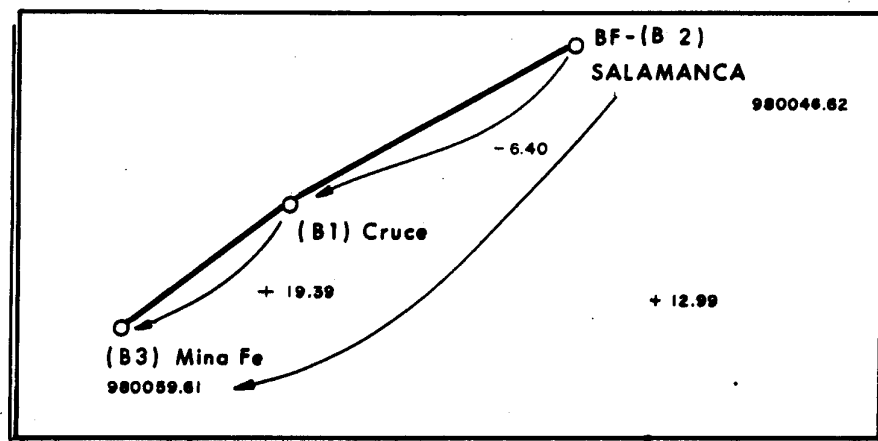


FIGURA 7 - ESQUEMA DE ENLACES DE BASES GRAVIMETRICAS.

OBTENCIÓN DE LA ANOMALIA DE BOUGUER.

Para la obtención de la anomalía de Bouguer en lo que respecta a la adopción de sistema de cálculo, unidades, etc... se ha seguido la norma UNE 22611 (1985) relativa a trabajos geofísicos de gravimetría.

CALCULOS

En la determinación de la anomalía de Bouguer, se han incluido las siguientes correcciones y cálculos:

- corrección lunisolar
- corrección de deriva y de inclinación del gravímetro
- compensación de la temperatura del gravímetro
- cálculo de la gravedad teórica
- cálculo del efecto topográfico

Corrección lunisolar

Estos cálculos están automatizados incluyéndose en el funcionamiento interno del gravímetro a través de la fórmula de Longman, introduciendo por el teclado la latitud, longitud y la diferencia horaria y aplicándose a cada lectura.

Corrección de deriva y de inclinación del gravímetro

La deriva instrumental se controló por las lecturas en base al principio y final de jornada, suponiéndola de variación lineal en ese tiempo. El valor medio de las derivas de trabajo por hora de la campaña fué calculado en 0.005 mGal/hora.

La corrección de inclinación, de igual forma introducida en el funcionamiento del gravímetro, se realiza automáticamente según la inclinación del sensor de gravedad, en relación con los ejes horizontales y perpendiculares (x e y). De esta forma los errores debidos a la inclinación del instrumento, son eliminados.

Compensación de la temperatura del gravímetro

Los cambios de temperatura del muelle del gravímetro son medidos usando un sensor de temperatura en contacto térmico con el muelle principal. El valor calculado de compensación de temperatura se aplica después de cada muestra por segundo.

Cálculo de la gravedad teórica

Los valores de la gravedad normal dados por la ecuación:

$g_0 = g_p (1 + A \operatorname{sen}^2 \phi - B \operatorname{sen}^2 2\phi)$ dependen de los adoptados como datum y del geoide de referencia. El sistema empleado fué el del año 1967.

Elipsoide internacional
a= 6378160
b= 6356774.5161
c= 1/298.25
datum postdam = 981260 mGal
gp= 978031.8 mGal

$$g_{67} = 978031.85 (1 + 0.0053024 \operatorname{sen}^2 \phi - 0.0000059 \operatorname{sen}^2 2\phi)$$

expresada en mGal, siendo ϕ la latitud.

Por otra parte, la corrección de aire libre o de Fayé y la corrección de Bouguer han sido ejecutadas con los siguientes coeficientes: F=0.30854 mGal/m; B=0.04192 (mGal/m)*(cc/gr).

Cálculo del efecto topográfico

La corrección topográfica ha sido realizada según el método de Hammer, siguiendo el modo operativo descrito en 1939 (Geophysics IV, pp184).

Para el cálculo de la influencia topográfica total se ha subdividido la corrección en las siguientes zonas:

- Corrección topográfica proxima: hasta 170 m , engloba las coronas B, C y D. Se estima en campo punto por punto, al mismo tiempo que la medida con el gravímetro.

- Corrección topográfica media: desde 170 m hasta 4470 m, abarca las coronas E, F, G, H, e I y se estima sobre planos a escala 1/50.000 punto por punto.

- Corrección topográfica lejana: se refiere a las coronas J, K, L y M, y abarca una zona desde los 4470 m hasta 21944 m de radio. Esta corrección se realizó por el método de interpolación de Neuman (1963), sobre planos a escala 1/200.000 a partir de los datos en malla (5x5) de 5000 m de paso y origen U.T.M. X= 690000; Y=4490000.

CONTROL DE LAS MEDICIONES Y CALCULOS.

Los controles realizados para mejorar la calidad de las mediciones a lo largo de la campaña fueron los siguientes:

- Control de las lecturas del gravímetro
- Control de la corrección topográfica media y lejana.

Control de las lecturas del gravímetro

Para el control de las lecturas del gravímetro se repitieron un total de 14 estaciones (10%), en días diferentes.

Tanto el valor medio de las derivas de los programas (0.005 mGal por hora) como el error medio cometido en las lecturas (0.013 mGal) obtenido mediante la semidiferencia entre las lecturas repetidas, pueden considerarse válidos.

Control en la ejecución de la corrección topográfica media y lejana

La forma de llevar a cabo en la práctica la corrección topográfica implica una laboriosa estimación de desniveles sobre hojas topográficas que puede introducir graves errores en el cálculo posterior de la anomalía de Bouguer. Por ello, en zonas como la actualmente investigada, de relieve medio-alto, es preciso llevar a cabo este control por repeticiones.

Para la corrección topográfica media y lejana se ha realizado la repetición del 5% de las estaciones. Teniendo en cuenta el valor de las correcciones topográficas lejanas, así como el relieve de la zona, se ha estimado admisible unas diferencias en las repeticiones de un 15%-20%.

$$\text{Siendo: } E\% = (CT_1 - CT_2 / CT_2) * 100$$

CALCULO DE LA ANOMALIA DE BOUGUER

El cálculo de la anomalía de Bouguer se realizó según la expresión :

$$A = G - (g_N - Z (F - B*D) - T)$$

Siendo:

A - anomalía de Bouguer; G - gravedad observada corregida del efecto lunisolar y de deriva instrumental; g_N - gravedad normal; F - coeficiente de Fayé; B - coeficiente de Bouguer; D - densidad de reducción; Z - altitud; T - corrección topográfica total.

El factor de conversión C, para paso a otra densidad de reducción se obtiene mediante la fórmula, $C = 0.8384 Z - T$ y la anomalía de Bouguer en otra densidad distinta a 2 gr/cc es:

$$A_1 = A - ((d - 2) / 2) * C.$$

Tanto a los valores de gavedad en las bases como a g_N se le han restado 982241.96 mGal, (979000.00 en programa más 3241.96 en campo), para manejar números de menos cifras.

INTERPRETACION

En el Mapa de Anomalías de Bouguer, se diferencian principalmente tres zonas anómalas.

Zona A - Anomalía negativa.

Zona B - Tendencia anómala NW-SE.

Zona C - Tendencia anómala ENE-WSW.

La anomalía negativa A, se correlaciona geológica y posicionalmente con el stock granítico de Gallegos. Esta anomalía de aproximadamente -4 ó -5 mGal de intensidad y 3-4 Km de anchura, presenta una configuración bastante simétrica al norte, sur y este, con gradientes fuertes y muy semejantes (1.6, 1.7 y 2.2 mGal/Km respectivamente), lo que implica una verticalización acusada de los contactos del cuerpo granítico en estas direcciones, sobre todo hacia el este.

Hacia el oeste el gradiente es mucho menos acusado (0.85 mGal/km) lo que puede significar que el cuerpo granítico de Gallegos en esta dirección se extienda más superficialmente con una inclinación de su contacto con el CEG más suave. De cualquier forma parece presentarse como un cuerpo desenraizado.

La zona anómala B está representada por un conjunto de tendencias NW-SE que se marcan por los lobulos de las curvas del Mapa de Anomalías de Bouguer y geológicamente puede corresponder con una dirección principal hercínica de plegamiento, así por ejemplo la tendencia B1 muy marcada en las figuras 8a y 8b coincide con el trazado de la estructura sinclinal sobre la que se presenta.

GRAVIMETRÍA - NINA FE - eq=0.5 mGal

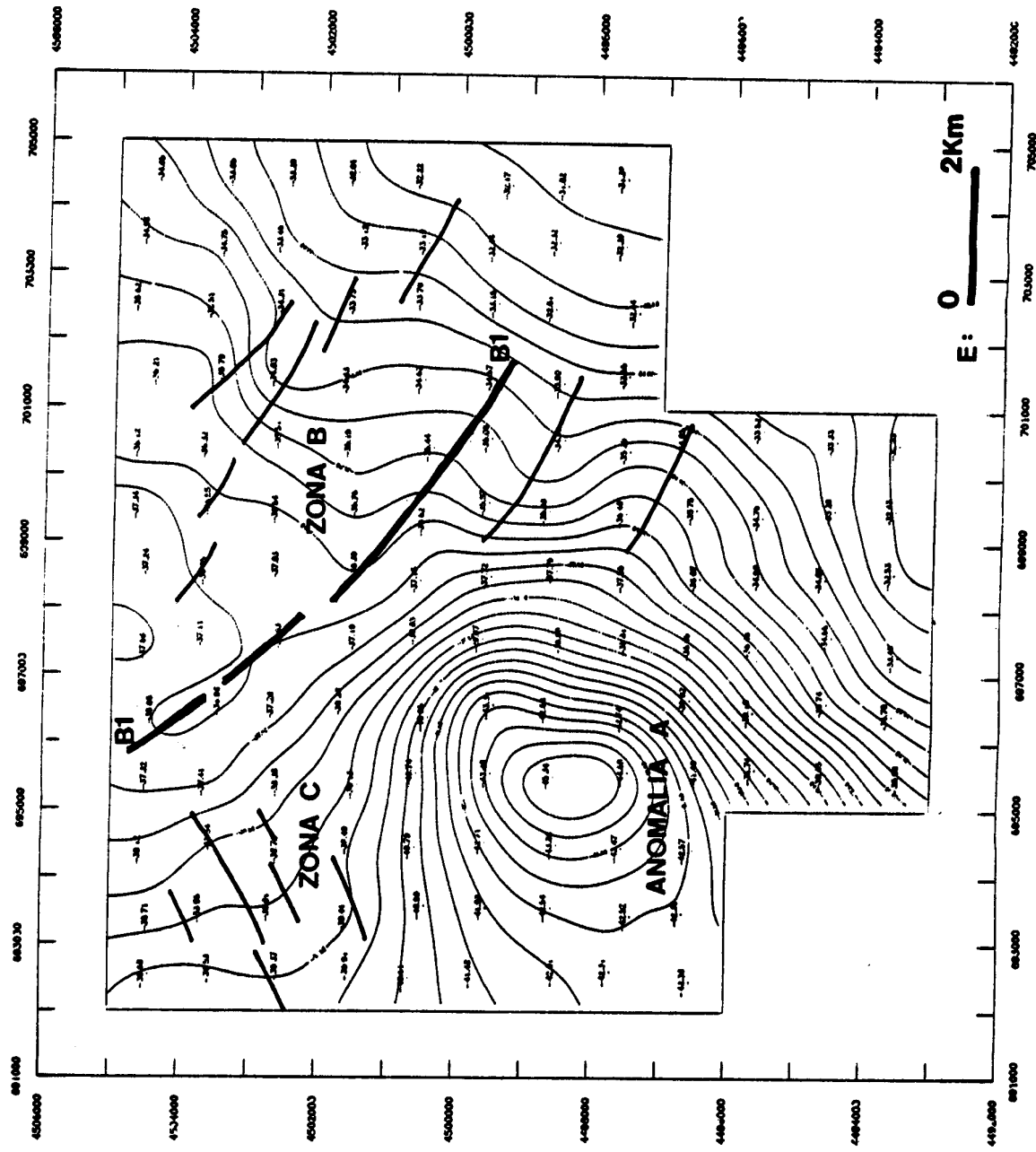


FIGURA 8a.-MAPA DE ANOMALIAS DE BOUGUER

Area de Ciudad Rodrigo

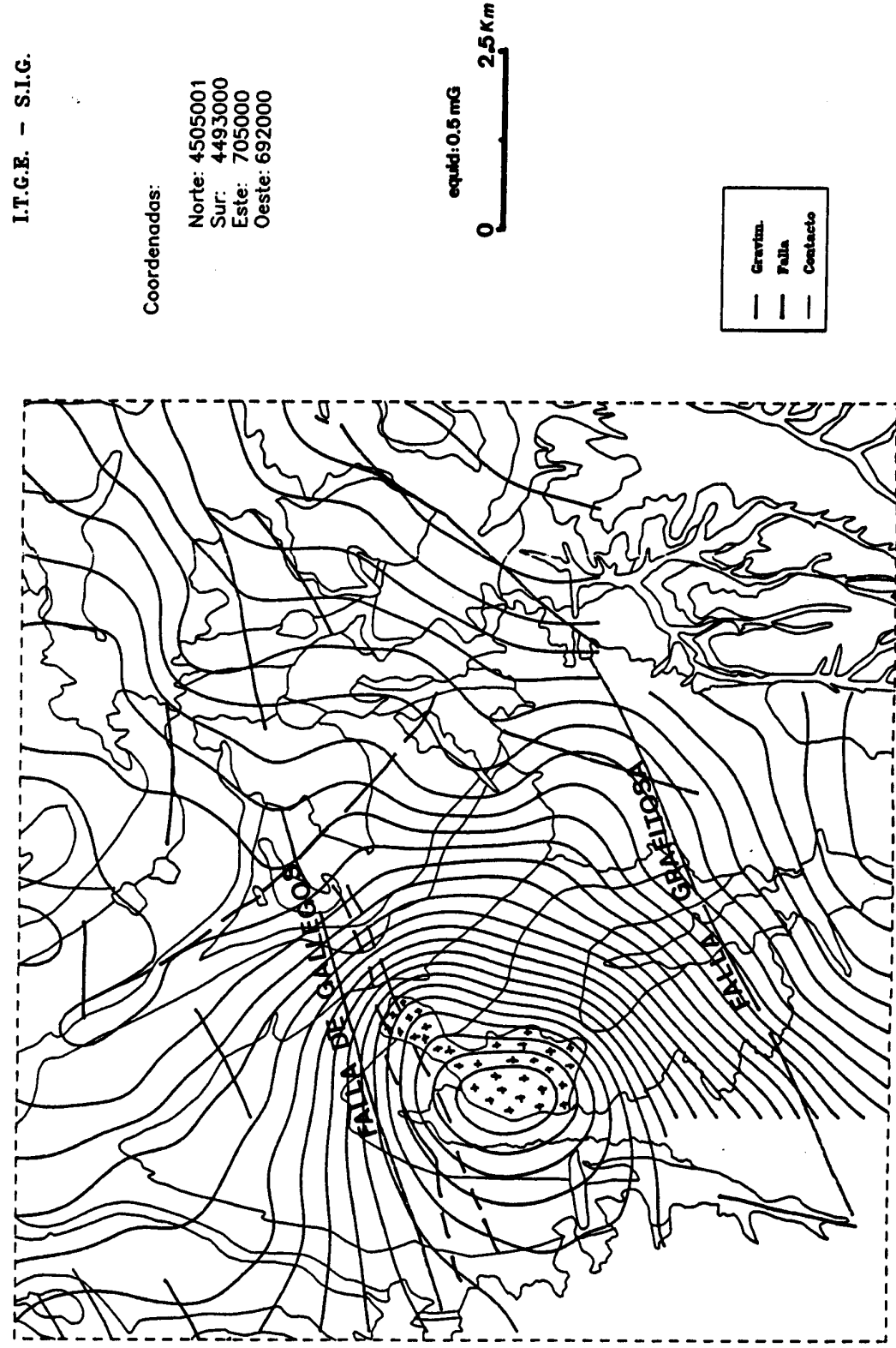
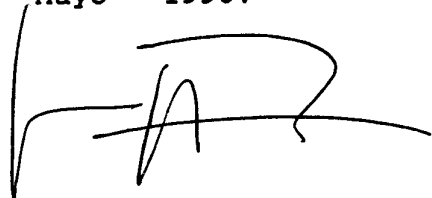


FIGURA 8b- MAPA DE ANOMALIAS DE BOUGUER

Por último la zona anómala C, aunque menos evidente que la zona B, presenta tambien una serie de lineamientos en dirección WSW-ENE. Esta dirección coincide con las direcciones del haz de fallas paralelas a la Falla Grafitosa al sur y la zona de fracturación de Gallegos (en el centro del mapa - fig.8a y b) por lo que se podría pensar en una zona de fracturación semejante, con la misma dirección aproximadamente que las dos anteriores y que se correlacionaría posicionalmente con estas anomalías gravimétricas.

Este hecho está además corroborado por la dirección de los lineamientos observados en imágenes Landsat TM, los cuales coinciden con el trazado de la red de drenaje.

Fdo: Rocio Campos Egea.
Mayo - 1990.



BIBLIOGRAFIA

ARNAIZ DE GEZALA, J; RUIZ ESTEBAN, B; RUIZ SANCHEZ-PORRO, J:
1989 "Update of uranium resources in Spain; U deposits in the
Salamanca province". Marianské Lazně, Checoslovaquia. (in press).

ARRIBAS, A. :1985 "Origen transporte y deposición del
uranio en los yacimientos en pizarras de la provincia de
Salamanca". Est.Geol. Vol.41 pp3-15.

ARRIBAS, A; MARTIN IZARD, A; MONTES, J: 1983 "Las
mineralizaciones de uranio en la zona de Alameda de Gardón y su
posición en el contexto geotectónico y metalogénico de las
pizarras del oeste de la provincia de Salamanca". VIII Reun.
Geol. Oeste Peninsular. Studia Geol. 18 pp 201-224.

HAMMER, R: 1939 "Terrain corrections for gravimeter
stations". Geophysics IV pp 184-209.

MARTIN IZARD, A. & ARRIBAS, A: 1984 "Relaciones entre la
estratigrafía y las mineralizaciones uraníferas del complejo
esquisto grauváquico en el oeste de la provincia de Salamanca". I
Cong. Espñ. Geol. Segovia 2 pp 577-587.

NEUMAN, R: 1963 "Contribution and calcul simplifie des
corrections de relief a grande distance a gravimetrie". Geoph.
Prosp. XI-4 pp 523-534.

APENDICE I

Listado de coordenadas de topografía:

X e Y (UTM en m.)

Z (altura en m.).

LISTADO N, X, Y, Z (COORDENADAS)

1	692537.271	4504417.011	728.924
2	693379.006	4504363.144	698.898
3	694383.021	4504495.883	717.32
4	695470.291	4504417.504	676.182
5	696452.843	4504352.834	670.198
6	697382.247	4504460.74	673.417
7	698654.231	4504428.465	642.198
8	699520.799	4504599.04	654.696
9	700447.941	4504591.172	684.3
10	701505.209	4504341.803	693.223
11	702597.077	4504623.31	676.828
12	703598.892	4504522.096	686.423
13	704537.101	4504325.12	709.795
14	692622.427	4503459.977	717.47
15	693521.186	4503608.489	689.834
16	694556.987	4503469.306	691.295
17	695389.039	4503582.273	695.592
18	698588.601	4503370.101	672.404
19	697584.748	4503632.85	676.192
20	698534.161	4503599.039	674.393
21	699587.437	4503556.588	682.486
22	700415.779	4503609.913	686.644
23	701549.783	4503391.603	691.937
24	702467.576	4503556.551	694.467
25	703414.715	4503391.521	701.11
26	704499.755	4503282.773	687.893
27	692685.747	4502479.488	708.887
28	693544.397	4502609.726	681.222
29	694391.401	4502503.887	684.8
30	695391.686	4502507.813	680.3
31	696522.695	4502598.642	681.121
32	697551.798	4502496.759	677.124
33	698825.998	4502553.336	684.528
34	699473.34	4502580.273	688.846
35	700591.374	4502549.889	684.457
36	701503.502	4502637.581	686.082
37	702546.339	4502540.887	672.579
38	703492.492	4502577.599	682.066
39	704506.233	4502410.332	675.485
40	692669.821	4501446.634	709.083
41	693386.815	4501498.288	686.464
42	694541.386	4501479.187	663.33
43	695365.342	4501403.367	686.54
44	696583.482	4501608.644	702.394
45	697544.49	4501414.634	686.597
46	698640.765	4501404.847	686.373
47	699583.366	4501417.821	673.48
48	700472.53	4501530.797	673.794
49	701382.179	4501577.539	613.209
50	702543.265	4501505.906	657.761
51	703516.16	4501340.39	678.825
52	704515.265	4501541.593	680.482

53	892491.749	4500626.223	719.729
54	693579.002	4500399.068	688.586
55	894445.841	4500562.107	684.047
56	695541.894	4500550.259	685.433
57	896372.305	4500393.675	690.016
58	697661.457	4500531.782	680.66
59	698418.142	4500521.197	666.864
60	699310.01	4500433.9	687.46
61	700420.489	4500362.715	610.992
62	701415.11	4500509.99	685.852
63	702650.82	4500524.162	671.599
64	703456.457	4500502.081	681.825
65	704464.351	4500565.908	645.537
66	692582.448	4499643.455	722.018
67	693548.004	4499500.907	685.873
68	694525.806	4499534.188	673.408
69	695542.906	4499463.281	691.01
70	696561.393	4499434.797	676.577
71	697551.809	4499603.395	613.671
72	698486.981	4499489.976	640.85
73	699600.369	4499543.117	667.23
74	700564.832	4499512.204	681.7
75	701449.3	4499479.74	683.983
76	702557.825	4499450.496	646.16
77	703393.899	4499485.927	646.938
78	704348.488	4499288.818	653.102
79	692588.064	4498442.113	715.462
80	693550.297	4498557.767	680.877
81	694488.357	4498485.274	685.831
82	695498.139	4498547.438	687.038
83	696470.872	4498609.744	658.828
84	697528.303	4498400.986	643.933
85	698578.704	4498537.018	681.422
86	699469.927	4498653.795	678.126
87	700549.627	4498454.676	661.268
88	701381.586	4498476.88	658.92
89	702483.12	4498620.963	656.782
90	703488.49	4498577.447	611.04
91	704348.611	4498476.131	639.117
92	692595.338	4497675.495	714.73
93	693430.881	4497388.56	692.463
94	694445.685	4497529.92	668.976
95	695571.253	4497457.616	679.35
96	696349.851	4497490.28	672.992
97	697526.378	4497453.115	641.373
98	698478.858	4497508.397	687.865
99	699450.39	4497534.106	680.497
100	700391.066	4497493.673	676.856
101	701498.431	4497516.297	658.978
102	702442.675	4497394.296	627.932
103	703432.145	4497610.584	641.844
104	704469.421	4497607.716	635.221

105	692450.683	4496512.45	710.205
106	693474.462	4496630.925	702.549
107	694398.268	4496533.45	677.158
108	695558.987	4496380.923	668.048
109	696646.329	4496565.47	656.028
110	697468.157	4496516.861	614.605
111	698481.587	4496435.25	660.529
112	699514.911	4496502.292	683.199
113	700549.798	4496644.188	683.128
114	695615.116	4495585.874	678.172
115	696469.757	4495625.473	653.411
116	697491.526	4495624.85	618.046
117	698504.087	4495511.454	649.99
118	699403.387	4495526.012	670.985
119	700717.071	4495532.709	653.047
120	695555.394	4494529.059	679.385
121	696805.207	4494541.737	642.655
122	697806.987	4494479.787	654.202
123	698480.553	4494588.527	639.26
124	699520.9	4494464.359	667.117
125	700559.245	4494449.049	656.719
126	695503.505	4493402.757	664.054
127	696424.287	4493583.28	654.286
128	697308.824	4493507.239	629.957
129	698558.738	4493573.36	618.759
130	699515.604	4493572.473	645.818
131	700516.736	4493534.133	670.529

APENDICE II

Fichero FERES.PRN, contiene 131
registros de medidas gravimétricas pertenecientes a la Hoja del
Mapa Topográfico Nacional a Escala 1/50.000 numero 525 (Ciudad
Rodrigo). Cada registro está formado por las variables:
N, X, Y, Z, G, GN, Tp, T, A, C, A1.

N - numero de estación
X - coordenada UTM
Y - coordenada UTM
Z - altura en metros
G - gravedad medida en mGal
GN - gravedad normal en mGal
Tp y T - corrección topográfica proxima y total en mGal
A - anomalía de Bouguer a densidad 2.00 gr/cc
A1 - anomalía de Bouguer a densidad 2.67 gr/cc
C - factor de conversión de densidades (solo en disco).

GRAVIMETRIA EN:MINA FE - C.ROD PAG N°: 1 DENSIDAD DE REDUCCION: 2.67

	NUM	X m.	Y m.	Z m.	G mgal.	GN mgal.	TP mgal.	T mgal.	A mgal.	A1 mgal.
	1	692537	4504417	728.92	1045.41	1228.53	0.00	0.10	-19.24	-39.68
	2	693379	4504363	696.90	1052.51	1228.47	0.10	0.18	-19.19	-38.71
	3	694383	4504496	717.32	1049.20	1228.56	0.01	0.15	-18.03	-38.12
	4	695470	4504418	676.18	1057.62	1228.47	0.30	0.44	-18.48	-37.32
	5	696453	4504353	670.20	1058.82	1228.40	0.50	0.71	-18.27	-36.86
	6	697382	4504461	673.42	1057.20	1228.47	0.50	0.90	-19.05	-37.66
	7	698654	4504428	642.20	1064.29	1228.41	0.38	0.46	-19.36	-37.24
	8	699521	4504599	654.70	1062.26	1228.53	0.10	0.16	-19.00	-37.34
	9	700448	4504591	684.30	1056.96	1228.51	0.55	0.66	-17.12	-36.12
	10	701505	4504342	693.22	1055.62	1228.28	0.02	0.12	-16.78	-36.21
	11	702597	4504623	676.63	1059.75	1228.48	0.01	0.06	-16.63	-35.62
	12	703599	4504522	686.42	1058.30	1228.38	0.01	0.11	-15.74	-34.98
	13	704537	4504325	709.80	1053.74	1228.20	0.02	0.19	-14.78	-34.65
	14	692622	4503460	717.47	1047.04	1227.76	0.01	0.10	-19.41	-39.53
	15	693521	4503608	689.83	1053.11	1227.86	0.05	0.12	-19.62	-38.96
	16	694557	4503469	691.30	1052.58	1227.73	0.18	0.52	-19.30	-38.54
	17	695389	4503582	695.59	1052.55	1227.80	0.19	0.81	-18.15	-37.41
	18	696589	4503376	672.40	1057.60	1227.61	0.27	0.64	-18.29	-36.96
	19	697585	4503633	676.19	1056.64	1227.80	0.31	0.82	-18.39	-37.11
	20	698534	4503599	674.39	1058.01	1227.75	0.11	0.22	-17.98	-36.85
	21	699587	4503557	662.49	1060.79	1227.69	0.01	0.07	-17.97	-36.55
	22	700416	4503610	686.64	1056.19	1227.72	0.03	0.15	-17.08	-36.32
	23	701550	4503392	691.94	1055.54	1227.52	0.01	0.11	-16.39	-35.79
	24	702468	4503557	694.47	1055.47	1227.63	0.00	0.08	-16.03	-35.51
	25	703415	4503392	701.11	1054.73	1227.48	0.00	0.11	-15.09	-34.75
	26	704500	4503293	687.89	1058.32	1227.37	0.00	0.12	-14.36	-33.65
	27	692666	4502479	708.99	1048.00	1226.97	0.09	0.15	-19.51	-39.37
	28	693544	4502610	681.22	1053.87	1227.06	0.08	0.18	-19.94	-39.01
	29	694391	4502504	664.80	1057.29	1226.95	0.09	0.17	-20.11	-38.72
	30	695392	4502508	680.30	1054.65	1226.94	0.00	0.12	-19.31	-38.38
	31	696523	4502599	681.12	1055.61	1226.99	0.02	0.14	-18.19	-37.28
	32	697552	4502497	677.12	1056.27	1226.88	0.04	0.42	-18.05	-36.93
	33	698626	4502553	664.53	1058.41	1226.90	0.25	0.60	-18.57	-37.03
	34	699473	4502580	668.85	1058.56	1226.91	0.03	0.22	-17.83	-36.54
	35	700591	4502550	664.46	1060.51	1226.86	0.02	0.15	-16.90	-35.51
	36	701504	4502638	666.08	1060.63	1226.91	0.86	0.97	-15.65	-34.03
	37	702546	4502541	672.58	1060.16	1226.81	0.01	0.07	-15.45	-34.31
	38	703492	4502578	682.07	1059.06	1226.82	0.07	0.14	-14.36	-33.46
	39	704506	4502410	675.49	1060.43	1226.66	0.01	0.10	-14.35	-33.29
	40	692670	4501447	709.08	1046.67	1226.14	0.04	0.11	-20.03	-39.91
	41	693387	4501498	686.46	1051.36	1226.17	0.25	0.32	-20.24	-39.41
	42	694541	4501479	663.33	1056.07	1226.13	0.03	0.11	-20.90	-39.49
	43	695365	4501403	666.54	1055.60	1226.05	0.12	0.20	-20.48	-39.13
	44	696583	4501609	702.39	1049.59	1226.19	0.04	0.16	-18.61	-38.28
	45	697544	4501415	686.60	1053.44	1226.01	0.19	0.29	-18.00	-37.19
	46	698641	4501405	666.37	1058.02	1225.98	0.17	0.41	-17.81	-36.39
	47	699563	4501418	673.48	1056.53	1225.97	0.35	0.95	-17.16	-35.76
	48	700473	4501531	673.79	1057.39	1226.04	0.33	0.74	-16.51	-35.19
	49	701382	4501578	613.21	1070.06	1226.06	0.44	0.60	-17.61	-34.63
	50	702543	4501506	657.76	1062.37	1225.98	0.33	0.40	-15.41	-33.75

GRAVIMETRIA EN:MINA FE - C.ROD PAG N°: 2 DENSIDAD DE REDUCCION: 2.6.

NUM	X m.	Y m.	Z m.	G mgal.	GN mgal.	TP mgal.	T mgal.	A mgal.	A1 mgal.
51	703516	4501340	678.83	1059.07	1225.82	0.02	0.13	-14.09	-33.12
52	704515	4501542	660.48	1063.35	1225.96	0.02	0.10	-14.10	-32.61
53	692492	4500626	719.73	1043.24	1225.48	0.00	0.10	-20.42	-40.60
54	693579	4500399	688.59	1048.81	1225.28	0.07	0.14	-21.60	-40.89
55	694446	4500562	664.05	1053.93	1225.39	0.02	0.08	-22.17	-40.79
56	695542	4500550	665.43	1053.68	1225.36	0.00	0.08	-22.07	-40.73
57	696372	4500394	690.02	1048.47	1225.22	0.01	0.10	-21.60	-40.95
58	697661	4500532	660.66	1056.43	1225.30	0.51	0.71	-19.71	-38.03
59	698418	4500521	666.86	1056.32	1225.27	0.20	0.51	-18.59	-37.15
60	699310	4500434	667.46	1056.64	1225.18	0.16	0.52	-18.05	-36.62
61	700420	4500363	610.99	1068.70	1225.10	0.39	0.62	-18.49	-35.44
62	701415	4500510	665.85	1058.90	1225.20	0.22	0.54	-16.15	-34.67
63	702651	4500524	671.60	1059.19	1225.18	0.00	0.14	-14.95	-33.76
64	703456	4500502	681.83	1057.78	1225.15	0.00	0.09	-14.07	-33.19
65	704464	4500566	645.54	1065.90	1225.18	0.01	0.11	-14.12	-32.22
66	692562	4499643	722.02	1040.92	1224.69	0.00	0.25	-21.29	-41.48
67	693548	4499501	685.87	1047.59	1224.56	0.02	0.10	-22.75	-41.98
68	694526	4499534	673.41	1049.08	1224.56	0.21	0.28	-23.89	-42.71
69	695543	4499463	691.01	1044.74	1224.48	0.00	0.06	-24.42	-43.80
70	696561	4499435	676.58	1047.72	1224.44	0.12	0.29	-24.40	-43.31
71	697552	4499603	613.67	1063.65	1224.55	0.06	0.28	-22.73	-39.87
72	698487	4499490	640.85	1060.48	1224.44	0.08	0.20	-19.78	-37.72
73	699600	4499543	667.23	1056.68	1224.46	0.57	0.77	-17.09	-35.57
74	700565	4499512	681.70	1054.51	1224.42	0.29	0.58	-16.14	-35.09
75	701449	4499480	683.98	1054.78	1224.37	0.10	0.40	-15.50	-34.57
76	702558	4499450	646.16	1063.53	1224.32	0.27	0.45	-15.15	-33.15
77	703394	4499486	646.94	1064.44	1224.33	0.08	0.19	-14.33	-32.44
78	704348	4499289	653.10	1063.39	1224.15	0.01	0.14	-13.87	-32.17
79	692588	4498442	715.46	1040.92	1223.72	0.00	0.10	-21.94	-42.01
80	693550	4498558	680.88	1047.21	1223.80	0.06	0.14	-23.46	-42.54
81	694488	4498485	685.83	1044.68	1223.72	0.16	0.25	-24.68	-43.86
82	695498	4498547	687.04	1043.16	1223.75	0.07	0.13	-26.09	-45.34
83	696471	4498610	658.83	1050.79	1223.78	0.41	0.58	-24.37	-42.68
84	697528	4498401	643.93	1057.09	1223.59	0.05	0.16	-21.65	-39.68
85	698579	4498537	681.42	1051.71	1223.67	0.05	0.15	-18.70	-37.79
86	699470	4498654	678.13	1054.88	1223.75	0.02	0.12	-16.38	-35.38
87	700550	4498455	661.27	1058.75	1223.57	0.23	0.28	-15.94	-34.42
88	701382	4498477	658.92	1059.95	1223.56	0.04	0.12	-15.43	-33.90
89	702483	4498621	656.78	1061.16	1223.66	0.38	0.57	-14.35	-32.61
90	703488	4498577	611.04	1070.86	1223.60	0.03	0.21	-15.23	-32.32
91	704349	4498476	639.12	1065.77	1223.50	0.06	0.19	-13.93	-31.82
92	692595	4497675	714.73	1040.15	1223.11	0.01	0.09	-22.27	-42.31
93	693431	4497389	692.46	1043.94	1222.86	0.11	0.18	-23.14	-42.52
94	694446	4497530	668.98	1047.75	1222.95	0.08	0.15	-24.73	-43.47
95	695571	4497458	679.35	1044.48	1222.87	0.05	0.11	-25.63	-44.67
96	696350	4497490	672.99	1047.58	1222.88	0.03	0.18	-23.90	-42.74
97	697526	4497453	641.37	1057.59	1222.82	0.12	0.24	-20.87	-38.81
98	698480	4497508	667.67	1053.87	1222.85	0.05	0.12	-18.84	-37.55
99	699450	4497534	680.50	1052.54	1222.85	0.03	0.08	-17.32	-36.40
100	700391	4497494	676.86	1054.31	1222.80	0.01	0.08	-16.31	-35.29

GRAVIMETRIA EN:MINA FE - C.ROD PAG N°: 3					DENSIDAD DE REDUCCION: 2.67					
NUM	X m.	Y m.	Z m.	G mgal.	GN mgal.	TP mgal.	T mgal.	A mgal.	A1 mgal.	
101	701498	4497516	658.98	1059.48	1222.79	0.06	0.15	-15.09	-33.55	
102	702443	4497394	627.93	1066.52	1222.67	0.08	0.19	-14.87	-32.44	
103	703432	4497611	641.84	1064.32	1222.82	0.01	0.08	-14.20	-32.20	
104	704469	4497608	635.22	1066.38	1222.80	0.00	0.10	-13.58	-31.39	
105	692451	4496512	710.21	1040.00	1222.17	0.06	0.12	-22.47	-42.38	
106	693474	4496631	702.55	1041.62	1222.25	0.05	0.11	-22.66	-42.36	
107	694398	4496533	677.16	1046.29	1222.15	0.06	0.12	-23.59	-42.57	
108	695559	4496381	668.05	1048.89	1222.00	0.14	0.21	-22.80	-41.49	
109	696646	4496565	656.03	1052.88	1222.13	0.23	0.33	-21.51	-39.82	
110	697468	4496517	614.61	1062.81	1222.07	0.07	0.28	-20.88	-38.05	
111	698482	4496435	660.53	1055.81	1221.99	0.09	0.18	-17.58	-36.07	
112	699515	4496502	683.20	1051.84	1222.02	0.00	0.08	-16.59	-35.75	
113	700550	4496644	683.13	1052.80	1222.11	0.01	0.11	-15.70	-34.85	
114	695615	4495586	678.17	1048.13	1221.36	0.04	0.12	-20.73	-39.74	
115	696470	4495625	653.41	1054.49	1221.38	0.15	0.24	-19.83	-38.10	
116	697492	4495625	618.05	1063.20	1221.35	0.00	0.13	-19.15	-36.46	
117	698504	4495511	649.99	1058.27	1221.24	0.12	0.21	-16.71	-34.90	
118	699403	4495526	670.97	1054.32	1221.23	0.11	0.18	-15.97	-34.76	
119	700717	4495533	653.05	1059.16	1221.21	0.04	0.10	-15.21	-33.52	
120	695555	4494529	679.37	1048.79	1220.51	0.01	0.08	-18.99	-38.05	
121	696605	4494542	642.66	1058.26	1220.50	0.02	0.11	-17.73	-35.74	
122	697607	4494480	654.20	1056.83	1220.43	0.07	0.24	-16.36	-34.66	
123	698481	4494589	639.26	1060.53	1220.50	0.06	0.17	-16.15	-34.05	
124	699521	4494464	667.12	1055.49	1220.38	0.24	0.33	-14.65	-33.28	
125	700559	4494449	656.72	1057.52	1220.34	0.23	0.28	-14.97	-33.32	
126	695504	4493403	664.05	1052.89	1219.61	0.06	0.14	-17.37	-35.98	
127	696424	4493583	654.29	1056.07	1219.73	0.15	0.24	-16.41	-34.70	
128	697309	4493507	629.96	1062.21	1219.65	0.00	0.10	-15.79	-33.45	
129	698559	4493573	618.76	1065.33	1219.68	0.01	0.13	-15.19	-32.53	
130	699516	4493572	645.82	1060.13	1219.66	0.01	0.10	-14.32	-32.42	
131	700517	4493534	670.53	1055.35	1219.61	0.00	0.07	-13.52	-32.32	

Nº TOTAL DE ESTACIONES PROCESADAS

131

Nombre del fichero creado: FERES.PRN; contiene 131 registros

Esta grabado en la unidad A

Contiene las siguientes variables:

º de estación,

coordenada X, Coordenada Y, Coordenada Z,

Gravedad medida, Gravedad normal, Corrección topográfica próxima y total,
anomalía de bouguer a densidad 2.

actor de conversión, anomalía de Bouguer a densidad 2.67

APENDICE III

Fichero CTLFE.PRN de corrección
topográfica lejana, contiene 50 registros (5 filas x 5 columnas)
y cada registro está formado por un solo valor (z0 hasta el
registro 25 y t0 hasta el final del fichero).

FICHERO DE CORRECCION TOPOGRAFICA LEJANA CTLFE.PRN

Zo	To
736.54	1.93
710.48	1.76
712.65	2.6
729.98	3.68
0	0
717.57	1.81
699.71	2.27
690.64	2.47
718.51	2.86
0	0
707.46	1.86
685.5	1.78
684.23	1.51
699.1	3.28
0	0
698.79	1.79
684.18	1.53
691.41	1.96
702.45	3.09
0	0
692.35	1.18
690.66	1.32
707.03	1.98
726.42	2.29
0	0